

**УДК 615.847.8**

## ВЛИЯНИЕ ЭКРАНОВ НА РАСПРЕДЕЛЕНИЯ ИМПУЛЬСНЫХ МАГНИТНЫХ ПОЛЕЙ ПРИ ТРАНСКРАНИАЛЬНОЙ МАГНИТНОЙ СТИМУЛЯЦИИ

И.В. САМУЙЛОВ, М.Н. КАЙДАҚ, САГАЙ МАРУФ ГАЗАЛЬ ГОБАД, В.А. БЕЛАН

*Белорусский государственный университет информатики и радиоэлектроники  
П. Бровки 6, 220013, Минск, Беларусь*

*Поступила в редакцию 22 ноября 2016*

Проведено экспериментальное исследование распределения амплитуды импульсного магнитного поля и влияние на него различных экранов.

**Ключевые слова:** транскраниальная магнитная стимуляция, магнитное поле, экраны, индуктор.

В настоящее время активно развиваются методы транскраниальной магнитной стимуляции (ТМС) [1]. Более века назад было установлено, что электричество и магнетизм взаимозависимы. Если проводящая среда, какой является мозг, попадает в магнитное поле, то в этой среде индуцируется электрический ток. Таким образом, применение ТМС позволяет произвести «без электродную» электрическую стимуляцию. В отличие от транскраниальной электрической стимуляции (ТЭС), ТМС не сопряжена с болевыми ощущениями и поэтому она более перспективна в качестве диагностических и терапевтических процедур. Однако излучение индукторов относительно равномерно на значительной площади. Поэтому создание более локализованного поля достаточно актуальная задача. ТМС относительно новое направление в науке [2]. В настоящее время представляет интерес исследования распределения электрической энергии, при магнитной стимуляции, в тканях человека. Данной тематике посвящается ряд работ; существует два основных подхода: исследование на физических моделях [3] и моделирование [4]. Ряд работ посвящено проблеме локализации электрической энергии в небольшом объеме биологической ткани. В многие работы введутся в направлении создания сложной формы индуктора [5].

Целью данной работы является исследование распределения энергии импульсного магнитного поля в имитаторах биологических тканях и поиск способов локализации стимулирующего воздействия в заданной области имитатора.

Обобщенный алгоритм проведения изменений состоит из следующих этапов.

1. Измеряется сопротивление образца. Рассчитывается удельное сопротивление образца и сверяется с заданной биологической тканью.

2. Устанавливаются электроды на образец, расстояние между электродами фиксируется равным 7 см. Для лучшего контакта с образцом, электроды фиксируются прессом, заданной массы (0,5 кг), из немагнитного материала (рис. 1).

3. Фиксируется магнитный индуктор (коил) на заданном расстоянии от образца (расстояние в ходе исследований меняется от 0,5–10 см). Проекция центра индуктора на образец была принята за начало координат (рис. 1).

4. Формируется импульсное магнитное поле (один импульс). На осциллографе фиксируется форма и амплитуда наведенного сигнала (структурная схема установки приведена на рис. 1).

5. Электроды перемещаются на заданное расстояние, далее алгоритм повторяется со второго пункта.

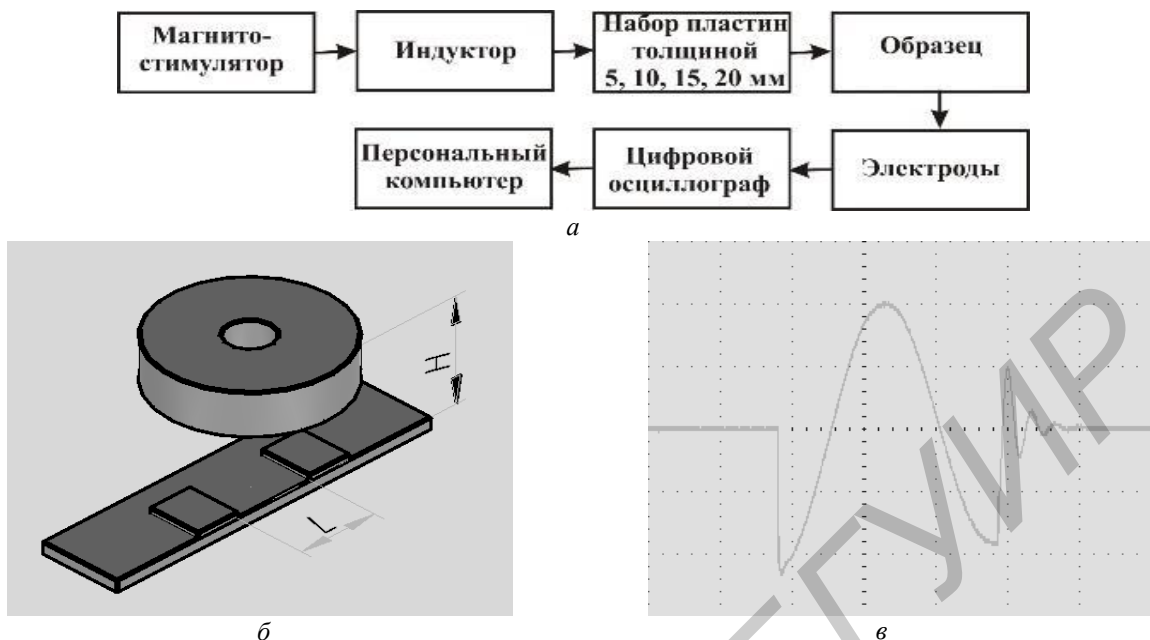


Рис. 1. Схема установки для проведения исследований: *a* – структурная схема установки для измерений влияния импульсного магнитного поля на образцы; *б* – расположение индуктора над образцом; *в* – форма импульса, создаваемая индуктором

В первом эксперименте исследовалась зависимость между величиной зазора экрана и амплитудой импульса. В ходе эксперимента индуктор был зафиксирован на высоте 10 см от образца. Между индуктором и образцом были расположены 2 пластины, из ферримагнитного материала, размерами 40 на 40 см, изменялось расстояние между пластинами от 0 до 18 см, с шагом в 2 см. Полученные данные представлены на рис. 2, *a*. Исходя из полученных данных можно сделать вывод о том, что для данного вида индуктора есть некоторый критический размер зазора, между пластинами, равный 12 см. Превышая который напряжение на электродах не увеличивается. Так же можно сделать вывод о том, что для экранирования достаточно размер экранов, сопоставимый с размерами излучателя.

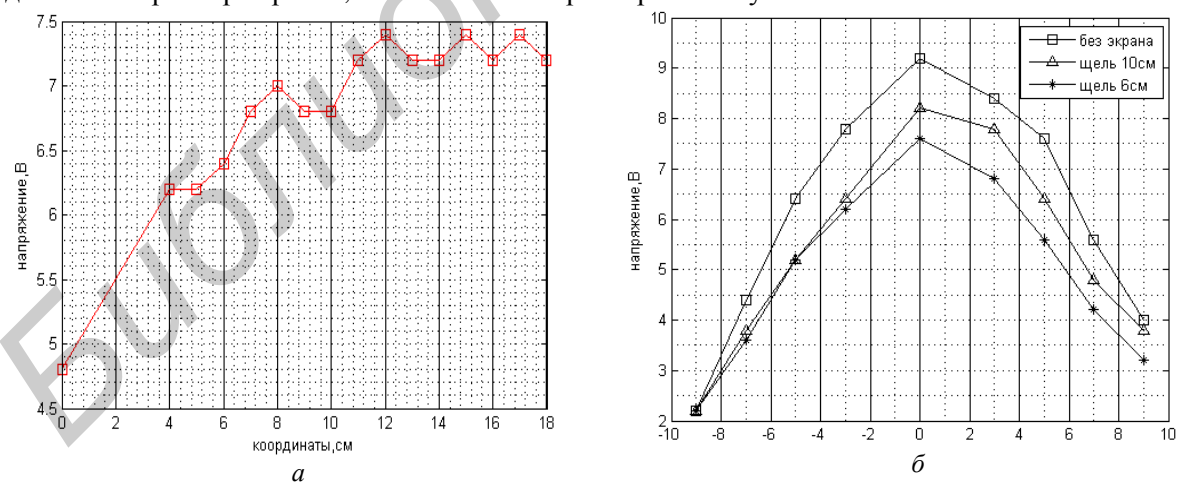


Рис. 2. Влияние листовых экранов на излучение индуктора:  
*а* – зависимость амплитуды напряжения на электродах от расстояния между двумя экранами;  
*б* – сравнение характеристик индуктора при наличии экранов и без экрана

Во втором эксперименте исследовалась зависимость между крутизной кривой и величиной зазора между экранами. Между образцом и индуктором располагались две экранирующие пластины. Были сняты характеристики при расстоянии между пластинами,

равными 6 см, 10 см и без экранов. Индуктор располагался на высоте 10 см от образца. Полученные данные представлены на рис. 2, б.

В результате эксперимента было установлено, что чем больше щель между экранами, тем более локализована электрическая энергия. Следовательно, применение листовых экранов ухудшает характеристики индуктора магнитного поля. Амплитуда сигнала при размере щели в 6 см составляет 86 % от сигнала без экрана, при размере щели в 10 см – 89 %.

В третьем эксперименте исследовалась характеристика магнитного поля от расстояния между индуктором и образцом. Были проведены измерения при высоте индуктора над образцом равным 10, 5 и 0,5 см. Экспериментальные данные нормированы и представлены в относительных величинах на рис. 3.

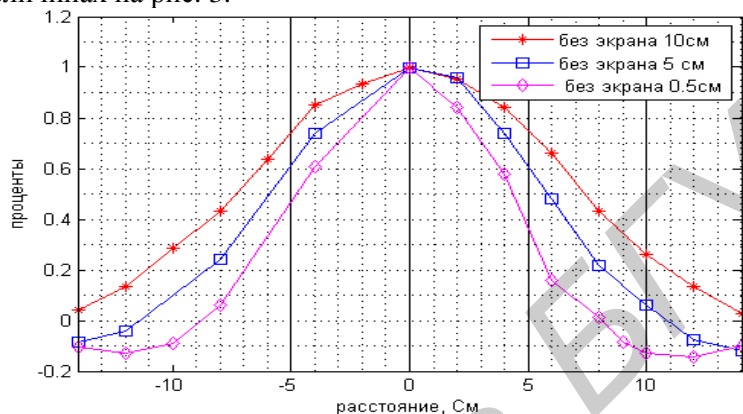


Рис. 3. Характеристика излучения в зависимости от расстояния индуктора до образца

В результате эксперимента было установлено, что при изменении расстояния между индуктором и образцом меняется не только амплитуда, но и крутизна характеристики: чем ближе индуктор к образцу, тем более локализовано излучение индуктора. Для оценки характеристики излучения индуктора было принято значение ширины кривой на высоте 0,7 от максимального. При удалении индуктора от образца на 5 см характеристика шире на 43 % по сравнению с характеристикой излучения индуктора без экрана, при удалении на 10 см – на 80 %.

В четвертом эксперименте с целью локализовать линии магнитной индукции в индуктор был вставлен металлический цилиндр длиной 9 см, диаметром 5 см и толщиной стенки 1 мм. Для простоты будем называть его 3D-экран (см. рис. 5, а). Он сравнивался с кольцевым индуктором на высоте 10 см от образца. Полученные данные представлены на рис. 5, б.

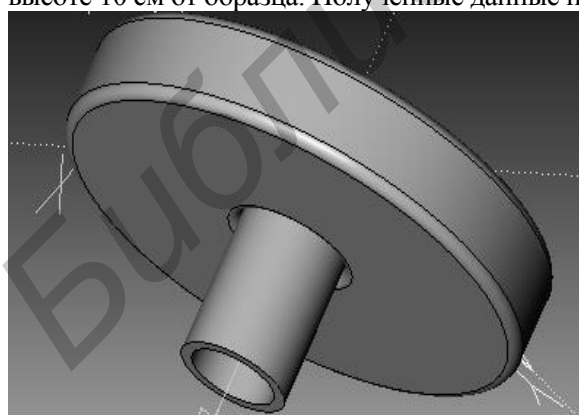


Рис. 4. Индуктор вместе с 3D-экраном

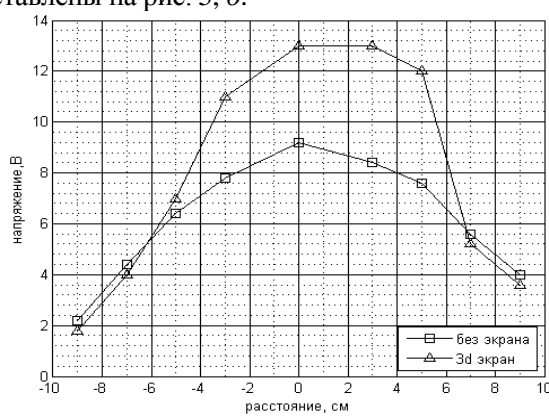


Рис. 5. Сравнение простого кольцевого индуктора и индуктора с 3D-экраном

В результате эксперимента было установлено, что при одинаковом расстоянии от образца лучшие результаты показывает индуктор с 3D-экраном. На расстоянии в 10 см от образца амплитуда сигнала от индуктора с 3D-экраном на 43 % превышает амплитуду сигнала обычного кольцевого индуктора. Следовательно, при условии размещения индуктора не

вплотную к пациенту, эффективно использовать 3D-экран. Однако, как показано выше, локализованность излучения индуктора возрастает при приближении индуктора к образцу.

Учитывая это в пятом эксперименте были исследованы характеристики индукторов при максимальном приближении индукторов к образцу (рис. 6 *a, б*), для этого индуктор с 3D-экраном был перевернут 3D-экраном от образца. Как видно, максимум излучения не совпадает с началом координат, это связано с конфигурацией индуктора. Для более удобного анализа полученных данных сравним профили излучения по максимальному значению излучения.

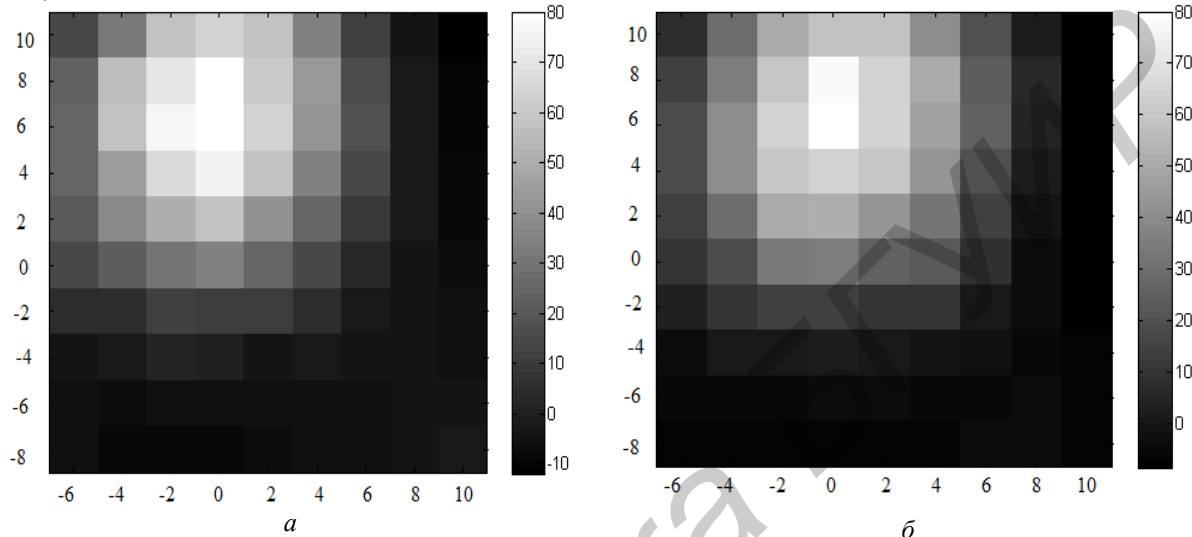


Рис. 6. Сравнение магнитных полей различных индукторов: *а* – картина поля кольцевого индуктора; *б* – картина поля перевернутого 3D-экрана

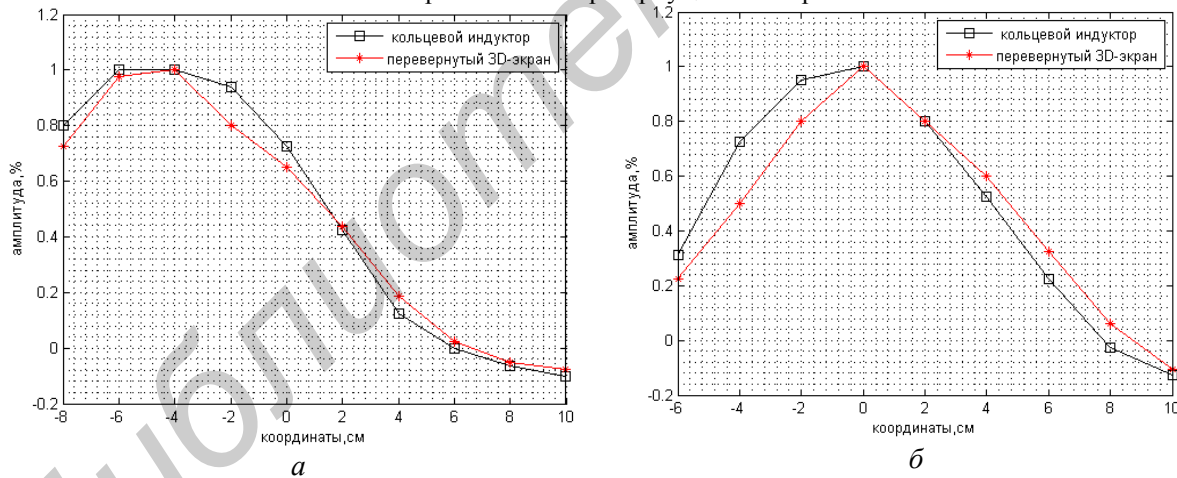


Рис. 7. Сравнение профилей полей кольцевого индуктора и 3D-индуктора:  
*а* – профиль поля по координате *Ox*; *б* – профиль поля по координате *Oy*

Как видно из полученных данных, индуктор с 3D-экраном увеличил локализованность излучения индуктора. Для оценки характеристики излучения индуктора было принято значение ширины кривой на высоте 0,7 от максимального. Характеристика излучения кольцевого индуктора в среднем шире на 13 % по сравнению с характеристикой излучения индуктора с 3D-экраном.

### Заключение

Проведено исследование распределения энергии импульсного магнитного поля в имитаторах биологической ткани, было показано, что для экранирования объектов достаточен размер экранов сопоставимый с размерами излучателя; а также что применение листовых экранов уменьшает локализацию магнитного поля индуктора; локализация магнитного поля

сильно зависит от расстояния между индуктором и пациентом и следовательно при проведении терапевтических процедур важно обеспечить плотный контакт индуктора к пациенту; при условии размещения индуктора не вплотную к пациенту, представляется эффективным использовать 3D-экран. На расстоянии в 10 см от образца амплитуда сигнала от индуктора с 3D-экраном на 43 % превышает амплитуду сигнала обычного кольцевого индуктора. Также было показано, что 3D-экран эффективен и вплотную к образцу – при расстоянии между индуктором и образцом в 0,5 см характеристика излучения кольцевого индуктора в среднем шире на 13 % по сравнению с характеристикой излучения индуктора с 3D-экраном.

## SCEENS' INFLUENCE ON DISTRIBUTURION OF PULSED MAGNETIC FIELD IN TRANSCRANIAL MAGNETIC STIMULATION

I.V. SAMUILOV, M.N. KAIDAK, SAGA MARUF GHAZAL GHOBADI, V.A. BELAN

### Abstract

The article is devoted to an experimental test on the distribution of the pulse magnetic field's range and how various screens influence it.

*Keywords:* transcranial magnetic stimulation, magnetic field, screens, inductor.

### Список литературы

- Новости медицины и формации. [Электронный ресурс]. Режим доступа: <http://www.mif-ua.com/archive/article/3515>. Дата доступа: 22.11.2016.
- Barker A.T., Jalinous R., Freeston I. // Lancet. 1985. № 1 .P. 1106–1107.
- Thielscher A, Kammer T. // Neuroimage. 2002. № 17. P. 1117–1130.
- Amassian V.E., Eberle L., MacCabe P.J. // Electroencephalogr Clin Neurophysiol. 1992. № 85. P. 291–301.
- Roth Y, Amir A, Levkovitz Y et. al. // J Clin Neurophysiol. 2007. № 24 (1). P. 31–38.

УДК 606-073.7

## ИНТЕРАКТИВНАЯ ТРЕХМЕРНАЯ ВИЗУАЛИЗАЦИЯ ПАТОЛОГИЧЕСКОЙ АКТИВНОСТИ ГОЛОВНОГО МОЗГА

О.П. ВЫСОЦКИЙ, Т.С. БОБРОВА, Д.И. ЗМИТРУКЕВИЧ, Г.И. ОВСЯНКИНА\*,  
А.А. БОРИСКЕВИЧ, М.В. ДАВЫДОВ

Белорусский государственный университет информатики и радиоэлектроники  
П. Бровки, 6, Минск, 220013, Беларусь

\*Республиканский научно-практический центр неврологии и нейрохирургии  
Ф. Скорины 24, Минск, 220114, Беларусь

Поступила в редакцию 22 ноября 2016

Разработана программа автоматического детектирования паттернов типа «спайк» и типа «острая волна» на основе вейвлет-преобразования и математического пакета MATLAB. Создана интерактивная трехмерная визуализация патологической активности головного мозга человека с использованием языка программирования C# в среде Visual Studio 2015, на основе автоматически детектированных патологических паттернов типа «спайк» и типа «острая волна».

*Ключевые слова:* патологическая активность головного мозга, автоматическое детектирование, вейвлет-преобразование.